

## 論 文

# CRC 오류검출부호의 성능 분석

正會員 廉 興 烈\* 正會員 權 周 漢\*\* 準會員 梁 承 杜\*\* 正會員 李 晚 榮\*\*\*

## Performance Analysis of CRC Error Detecting Codes

Heung Youl YOUNG\*, Joo Han KWON\*\*, Seung Doo YANG\*\*,  
Man Young RHEE\* Regular Members

**要 約** 본 논문에서는 단축 Hamming 부호의 일종이며 오류검출용 검사비트 수가 16인 CRC-CCITT 부호와 원시다항식 CRC 부호에 대한 성능 분석을 위하여 필수적으로 요구되는 중분포 (weight distribution)를 구하는 기법과 오류검출 성능을 분석하는 기법을 제안하였고, 두 CRC (cyclic redundant code) 부호를 CCITT에서 광대역 ISDN의 가입자망 인터페이스의 전송방식으로 권고된 ATM (asynchronous transfer mode) 전송방식의 오류검출용 부호로 적용하여 현재 고려되고 있는 cell 크기에 대한 중분포 및 미검출오류확률(undetected error probability)을 구한 후, 두 오류검출부호의 성능을 비교 / 분석하였다.

분석 결과, 현재 고려되는 셀 크기에 대해 CRC-CCITT 부호의 성능이 원시다항식 CRC 부호의 성능보다 더 우수함이 입증되었다. 이를 위한 모든 계산을 IBM PC / AT를 이용하여 수행하였다. 한편 본 논문에서 제안한 단축 Hamming 부호의 성능 분석 기법은 지금까지 디지털 통신시스템에 적용되고 있고 또는 적용예정인 CRC 오류검출 부호의 성능 분석에 이용될 수 있다.

**ABSTRACT** In this paper, the CRC-CCITT code and primitive polynomial CRC code are selected for analysing error detecting performance. However, general formulas for obtaining the weight distribution of these two CRC codes are not so far derived. So, a new method for calculating the weight distribution of the shortened cyclic Hamming code is presented and an undetected error probability of these two codes is obtained when used in cell of ATM for broadband ISDN user-network interface. Consequently, we show that CRC code is performing better than primitive polynomial CRC code for error detection of ATM Cell and shortening a code too much does affect its error detection performance. All the computer simulation is performed by IBM PC / AT.

\* 韓國電子通信研究所

Transmission Systems Section Electronics and  
Telecommunications Research Institute

\*\* 三星電子

Samsung Electronics.

\*\*\* 漢陽大學校 電子通信工學科

Dept. of Electronic Communication Engineering

Han Yang University

論文番號 : 89-57 (接受1989. 6. 9)

## I. 서 론

지난 30여년 동안 전송로에서 발생한 오류를

제어하기 위한 부호이론에 대한 연구는 오류 검출 / 정정 능력이 우수한 오류 정정 / 검출 부호의 개발, 보다 효율적이고 간단한 부호화 및 복호 알고리즘 개발 등에 대하여 중점적으로 수행되어 왔다.<sup>(1)</sup>

신뢰성 있는 정보 전송을 위하여 통신시스템에서 널리 이용되고 있는 오류제어기법은 FEC (forward error correction) 기법, ARQ (automatic repeated-request) 기법, 그리고 두방식을 결합한 복합오류제어 (hybrid error control) 기법 등이 이용되어 수행되었다.

FEC 기법에서는 기본적으로 부호화율 ( $k/n$ )이 비교적 작은 오류정정부호를 이용하여, 오류 발생 검출, 오류 위치 및 오류값 추정, 그리고 오류정정으로 구성된 세 단계를 거쳐 수행되며, 재전송을 요구할 수 없는 실시간 데이터 전송시스템에서의 정보의 신뢰성을 향상시키기 위해 도입 / 적용되고 있다. ARQ 기법은 일반적으로 부호화율이 비교적 큰 오류 검출부호를 이용하며, 수신기에서 전송된 데이터 블럭에 오류 발생 유무만을 검출한 후 오류가 발생되었다고 판단되면 송신단에 해당 데이터 블럭의 재전송을 요구함으로서 해당 데이터 블록의 오류를 제어한다.

ARQ 기법은 시스템의 복잡도 측면에서 FEC 기법보다 비교적 간단하게 구현될 수 있으므로 통신채널의 오류 발생 확률이 높지 않은 패킷교환 데이터망, 컴퓨터 통신망, 그리고 위성을 통한 데이터 통신망 등에 널리 적용되어 왔다.<sup>(3)</sup> ARQ 기법에서 널리 이용되고 있는 대표적인 오류검출부호로는 선형 부호(linear cyclic code)의 일종인 CRC 부호를 들 수 있다. 따라서 CRC 오류검출부호의 성능은 ARQ 기법을 이용한 통신시스템의 성능에 직결되는 매우 중요한 변수가 된다. 그리고 복합 오류제어 기법은 FEC 기법과 ARQ 기법을 혼합한 기법으로 주로 위성을 통한 데이터 전송시스템에 있어서 성능 향상 및 전송 효율의 향상을 위하여 최근 연구 / 도입되고 있다.

본 논문에서는 단축 Hamming 부호의 일종이며 오류검출용 검사 비트수가 16인 CRC-CCITT

부호와 원시다항식 CRC 부호를 도입하여, 이들 단축 Hamming 부호에 대한 일반적인 성능 분석 기법을 제안하였고, 두 CRC 부호를 CCITT 광대역 ISDN 가입자망 인터페이스의 전송방식으로 권고된 ATM의 cell에 도입 / 적용하여 현재 고려되고 있는 각각의 cell 크기에 대한 중분포 (weight distribution) 및 미검출오류확률 (undetected error probability)을 구하고, 두 부호에 대한 성능을 비교 / 분석하였다.

## II. 오류검출부호

### II.1 오류검출부호의 종류 및 오류검출 알고리즘

현재까지 디지털 통신시스템에 널리 이용되고 있는 CRC 부호는 CRC-12, CRC-16, CRC-CCITT, 그리고 CRC-32 등이며, 이 부호들의 생성다항식 (generator polynomial)은 다음과 같다.<sup>(3)(6)</sup>

\*CRC-12의 생성다항식:  $x^{12} + x^{11} + x^3 + x^2 + 1$

\*CRC-16의 생성다항식:  $x^{16} + x^{15} + x^2 + 1$

\*CRC-CCITT의 생성다항식:  $x^{16} + x^{12} + x^5 + 1$

\*CRC-32의 생성다항식:

$$\begin{aligned} &x^{32} + x^{26} + x^{23} + x^{22} + x^{16} + x^{12} + x^{11} + x^{10} + x^8 + x^7 \\ &+ x^5 + x^4 + x^2 + 1 \end{aligned}$$

CRC-12 부호는 6-비트 캐릭터에 대한 오류검출부호로, CRC-16 부호는 BSC (binary synchronous communications) 프로토콜에서의 8-비트로 구성된 EBCDIC (extended binary coded decimal interchange code) 캐릭터용 오류검출부호로, CRC-CCITT 부호는 SDLC (synchronous data link control) 프로토콜에서의 데이터 필드에서 발생한 오류를 제어하기 위하여 이용되고 있다. 특히 CRC-CCITT 부호는 미국 IBM 사의 8-inch 프리피 디스크의 데이터 보호를 위하여 적용되고 있으며, 많은 여타 사의 FDC (floppy

disk controller)에 적용되고 있는 대표적인 오류 검출부호이다. 그리고 CRC-32 부호는 LAN (local area network)의 일종인 Ethernet의 데이터 링크레이어의 데이터 필드에 대한 오류검출을 위해 채택 / 사용되고 있다.<sup>(1)(6)(7)</sup>

CRC 오류검출부호를 이용한 오류 검출 과정은 기본적으로 다음과 같다. 전송될  $k$ 비트의 정보 블럭은 다음과 같은  $k-1$  차의 정보다항식,  $d(x)=d_0+d_1x+d_2x^2+\cdots+d_{k-1}x^{k-1}$ 으로 표현될 수 있다. 일반적으로 CRC 오류검출부호의 생성 다항식은 차수가  $n-k$  차인  $g(x)$ 로 표현되므로, 오류 검출을 위한 검사비트 (redundancy bit)를 다항식 형태로 표현한 검사 다항식 (redundant check polynomial),  $r(x)$ 는 다음과 같은 식을 이용하여 구해진다.<sup>(1)(6)(7)</sup>

$$x^{n-k}d(x) = q(x)g(x) + r(x) \quad (1)$$

여기서,  $n-k$ : 생성다항식의 차수

$q(x)$ :  $x^{n-k}d(x)$ 를  $g(x)$ 로 나눈 몫다항식  
 $r(x)$ : 검사다항식

따라서 오류검출을 위한 CRC 검사 비트는 (1)식의  $r(x)$ 에서 구해진다. 송신기는  $k$ 비트의 정보 다항식에  $n-k$ 비트의 여분의 검사 다항식을 부가하여 실제 통신로로 전송될 부호어를 생성한다. 이는 (2)식과 같이 표현된다.

$$c(x) = x^kd(x) + r(x) \quad (2)$$

(1)과 (2)식에서 알 수 있듯이 부호 다항식,  $c(x)$ 는  $g(x)$ 로 나누어 떨어진다.

한편, 전송로에서 발생한 오류다항식 (error

polynomial)를  $e(x)$ 라 하면, 전송로를 통해 수신된 수신다항식 (received polynomial),  $v(x)$ 는 (3)식과 같이 표현될 수 있다.

$$v(x) = c(x) + e(x) \quad (3)$$

(1),(2),(3)식에서 알 수 있듯이 전송채널에서 오류가 발생하지 않았을 경우, 즉  $e(x)=0$ 인 경우,  $v(x)$ 는  $g(x)$ 로 나누어 떨어지므로 나머지 다항식이 “0”이 된다. 그러나 전송채널에서 오류가 발생한 경우, 즉  $e(x)\neq 0$ 인 경우,  $v(x)$ 는  $g(x)$ 로 나누어 떨어지지 않음으로 나머지 다항식이 “0”이 되지 않는다. 위와 같은 특성을 이용하여 수신기는 수신 다항식에 오류 발생 유무를 검출하기 위하여  $v(x)$ 를  $g(x)$ 로 나눈 후 나머지가 “0”인 경우 해당 정보 블럭에 오류가 발생하지 않은 것으로, 나머지가 “0”이 아니면 해당 정보 블럭에 오류가 발생한 것으로 판단하여 송신기로 해당 정보 블럭을 재전송하도록 요구하므로서 해당 정보 블럭에 발생한 오류를 교정하고 있다. 그러나 오류다항식이 부호다항식, 즉 부호어와 같은 형태로 발생한 경우, 오류가 발생했음에도 불구하고 수신기는 오류를 검출하지 못할 것이다. 이와 같은 사건을 미오류검출사건이라 지칭하며 이와 같은 사건이 발생할 확률이 오류검출부호의 성능을 나타내는 미검출오류확률이다. 따라서 오류검출 부호의 성능을 분석하기 위해서는  $g(x)$ 에 의해 생성 가능한 부호어를 구하는 것이 먼저 이루어져야 한다.

CRC-CCITT 오류검출부호를 이용한 검시비트는 <그림 1>과 같은 쉬프트 레지스터와 exclusive-OR gate로 구성된 회로에 의해 생성된다. 수신단의 오류 검출기는 <그림 1>과 비슷한

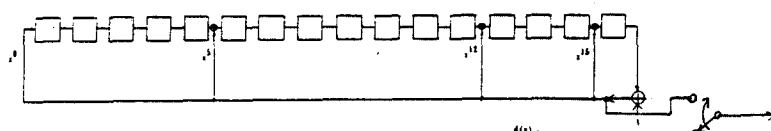


그림 1. CRC 비트 생성기  
generator circuit for CRC bit

회로로 구현될 수 있다.

### III. ATM 전송방식

ISDN (Integrated Service Digital Network)은 음성과 비음성 서비스를 하나의 통합된 망을 통해서 제공하는 것을 바탕으로 하여 세계각국에서 활발히 구축되고 있다. ISDN은 기본 액세스 (basic access)인 2B+D (B: 64Kb/s, D: 16 Kb/s) 서비스와 1차 액세스(primary access)인 23B+D (또는 30B+D) 서비스 제공을 바탕으로 한 협대역 ISDN과 H1(1.544Mb/s) 급 이상의 고속 데이터, 고속 비디오 서비스 등의 광대역 서비스 제공을 바탕으로 하는 광대역 ISDN으로 분류될 수 있다. 현재 CCITT에서 권고되고 있는 광대역 ISDN의 가입자망 인터페이스 (UNI: user network interface)의 기준 모델은 <그림 2>와 같다.<sup>(4)</sup>

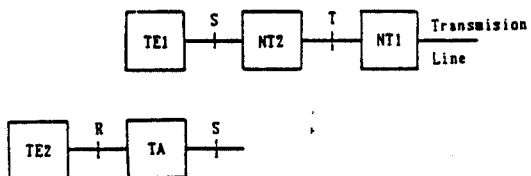


그림 2. 광대역 ISDN의 UNI의 기준 모델  
reference model for UNI of broadband ISDN

현재 CCITT에서 논의 / 고려되고 있는 광대역 ISDN의 UNI에 적용되는 전송방식은 기본적으로 STM (synchronous transfer mode) 전송 방식과 ATM (asynchronous transfer mode) 전송 방식이 고려되고 있으나, 이중 ATM 전송방식이 권고될 예정이다. STM 전송방식은 프레임을 구성한 후 특정 채널의 데이터를 특정 타임슬롯에 할당하여 전송하는 전송방식이다. 이 방식을 이용하면 특정 채널이 서비스를 포함하지 않더라도 해당 타임슬롯을 다른 채널이 이용할 수 없는 단점이 있으나, 회로 구현이 간단하여 지금까지의 많은 디지털 전송시스템에 널리 이용되고

있는 전송 방식이다. ATM 전송방식은 <그림 3>과 같이 프레임을 구성한 후 시분할 기법을 이용하여 가입자 정보를 패킷단위로 구분하여 전송하는 패킷 지향적인 전송방식으로서, 가입자의 정보는 cell 단위의 패킷에 삽입되어 전송된다.<sup>(4)</sup>

cell은 <그림 4>와 같이 정보부와 헤더부로 구성되어 있으며, 정보부에는 가입자의 데이터를, 헤더부에는 정보부에 대한 서비스 종류, 라우팅, 오류정정 / 검출 부호 비트 등의 정보를 포함한다. 따라서 이 전송방식을 이용하면 가입자의 여러 다양한 서비스에 융통성있게 대처할 수 있으나 시스템 실현의 복잡도가 STM 전송방식 보다 큰 단점이 있다.

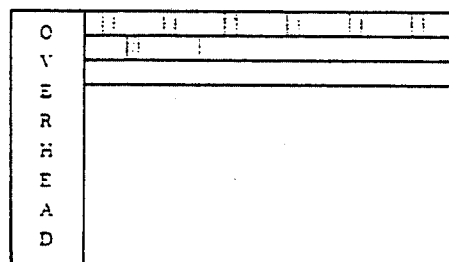


그림 3. 고려되고 있는 ATM 전송방식에서의 프레임 구성  
frame format for ATM

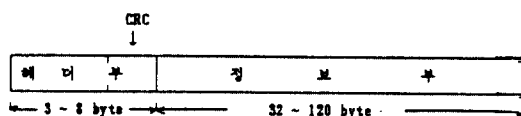


그림 4. ATM 전송방식에서의 cell 구조  
cell structure for ATM

현재 (89.2) CCITT에서는 cell의 헤더부 크기를 3~8바이트, 정보부의 크기를 32~120 바이트로 잠정 권고하고 있다.<sup>(4)</sup> 본 논문에서는 두 종류의 CRC 오류검출부호를 헤더부에 도입하여 정보부 및 헤더부에서 발생한 오류를 검출하는 방안을 제안하였다. 이를 기반으로 하여, 일반적인 단축

Hamming 오류검출부호의 성능 분석의 일반적인 이론을 분석하고, 두 오류검출부호에 적용될 수 있는 성능 분석 알고리즘을 제시하고 두 CRC 검출부호의 성능을 분석한 후 이를 비교/분석한다.

## IV. 미검출오류확률

**IV-1. MacWilliams 항등식과 미검출오류확률**  
 MacWilliams 항등식은  $(n,k)$  선형 부호,  $C$ 의 중 분포 (weight distribution)와  $C$ 의 쌍대부호 (dual code),  $C'$ 의 중분포 간의 관계식을 나타내며, 이는 (3)식과 같이 표현된다.<sup>(1)(2)(6)(7)</sup>

$$A(x)=2^{(n-k)}(1+x)^n B(1-x/1+x) \quad (3)$$

여기서  $A(x)$ :  $C$ 의 중분포 다항식

$B(x)$ :  $C'$ 의 중분포 다항식

(3)식은  $C$ 의 정보장( $k$ )과  $C'$ 의 정보장( $n-k$ )의 관계가  $k > n-k$ 을 만족할 경우,  $C'$ 의 중분포를 구한 후  $C$ 의 중분포를 쉽게 구할 수 있음을 의미한다.

이원대칭채널 (BSC: binary symmetric channel)을 통해  $(n,k)$  선형 부호가 전송되었을 경우, 채널상에서 발생한 오류 다항식이  $(n,k)$  선형 부호의 부호어와 일치하면, 수신다항식은 또 다른  $(n,k)$  선형부호의 부호어가 되어, 수신기는 송신 벡터에 오류가 발생했음에도 불구하고 이를 검출할 수 없게 된다. 이와 같은 사건은 오류 다항식이  $(n,k)$  선형 부호의 부호어 중 하나와 같은 형태로 일어날 경우 발생하며, 이와 같은 오류형태가 발생할 확률이 미검출오류확률이라 정의된다. 따라서  $(n,k)$  선형 부호의 미검출오류확률은 (4)식과 같이 표현될 수 있다.

$$\begin{aligned} P_{ud}(e) &= \sum_{i=1}^n A_i e^i (1-e)^{n-i} \\ &= \sum_{i=d_{min}}^n A_i e^i (1-e)^{n-i} \end{aligned} \quad (4)$$

여기서  $e$ 는 BSC에서의 천이화률 (transition

probability),  $d_{min}$ 은 선형부호  $C$ 의 최소거리 (minimum distance)이다. 그리고  $A_i$ 는 (5)식과 같은 중분포다항식의 중분포 계수를 의미한다.

$$A(x)=A_0+A_1x^1+A_2x^2+\cdots+A_nx^n$$

$$=\sum_{i=0}^n A_i x^i \quad (5)$$

(4)식은 (5)식을 이용하여 (6)식과 같이 변경될 수 있다.

$$P_{ud}(e)=(1-e)^n(A(e/1-e)-1) \quad (6)$$

(6)식을 (3)식에 대입하면, 미검출오류확률은 쌍대부호의 중분포로 (7)식과 같이 표현될 수 있다.

$$P_{ud}(e)=2^{(n-k)}B(1-2e)-(1-e)^n$$

$$=2^{(n-k)}\sum_{i=0}^n B_i(1-2e)^i-(1-e)^n \quad (7)$$

$$\text{여기서, } \sum_{i=0}^n B_i=2^{n-k}$$

$(n,k)$  선형부호, 또는 쌍대부호의 중분포를 알 수 있을 경우,  $(n,k)$  선형부호의 미검출오류확률은 (4)식 또는 (7)식을 이용하여 구해진다. 특히  $n-k < k$ 인 경우, 쌍대부호의 중분포는 원래 부호의 중분포보다 쉽게 구해지므로 (7)식을 이용하여 이 부호의 미검출오류확률을 구할 수 있다. 따라서  $C$ 와  $C'$ 의 부호의 특성이 명확히 알려져 있고  $C'$ 의 중분포  $B_i$ 가 비교적 쉽게 구해질 수 있을 경우, 미검출오류확률은 (7)식을 이용하여 구하는 것이 유리하다. 그러나  $C$ 와  $C'$  관계가 명확하지 않고  $C'$ 의 중분포가 쉽게 구할 수 없을 경우, 미검출오류확률은 binomial approximation 방법 또는 컴퓨터 시뮬레이션 기법<sup>(9)</sup> 등을 이용하여  $C$ 의 중분포  $A_i$ 를 추정하여, 이를 이용하여 미검출오류확률을 구해야 한다. 이후부터  $C$ 와  $C'$ 의 관계가 명확한 Hamming 부호를 단축한 단축 Hamming 부호의 특성을 이용하여, 이 부호의 미검출오류확률을

구하는 새로운 기법을 제안한다.

#### IV-2. 단축 Hamming 부호의 특성

선형부호의 미검출오류확률이  $e$ 가 증가함에 따라 단조증가한 경우, 이 부호는 proper 부호라 정의된다.  $(n,k)$  선형부호가 미검출오류확률의 상한치 (upper bound)를 만족하는 선형부호의 종류는 다음과 같은 특성에서 알수 있다. 특히 proper 부호의 미검출오류확률은  $2^{-(n-k)}$  상한치이 내임이 증명되었다.<sup>(5)</sup> 여기서는 proper 부호와 관련된 특성을 도출한다.

[특성 1] 선형부호는 반드시 proper 부호가 아니다.

[특성 2] 순회부호는 반드시 proper 부호가 아니다.

[특성 3] Single parity-check 부호는 proper 부호이다.

[특성 4] 최대장계열부호는 proper 부호이다.

[특성 5] 이중오류정정 BCH 부호는 proper 부호이다.

[특성 6] Hamming 부호와 Golay (23,12) 부호 등의 완전 (perfect) 부호는 proper 부호이다.

[특성 7] 완전부호의 쌍대부호는 proper 부호이다.

[특성 8] proper 부호의 쌍대부호는 반드시 proper 부호가 아니다.

[특성 9] 단축 Hamming 부호는 항상 proper 부호가 아니다.

[특성 10] 확대 Hamming 부호는 proper 부호이다.

여기서 단축 Hamming 부호의 미검출오류확률과 밀접한 관련이 있는 [특성 9]를 다음과 같이 증명한다.

[특성 9] 단축 Hamming 부호는 언제나 proper 부호가 아니다.

[증명]

다음과 같은  $m$ 차 원시다항식을 생성다항식으

로 갖는  $(n,k)$  순회 Hamming 부호를 생각하여 보자.

$$g(x)=x^{10}+x^3+1$$

위의 생성다항식으로 부터 (1023,1013) Hamming 부호의 비조직형 생성행열은 다음과 같이 구성될 수 있다.

$$G = \begin{bmatrix} 1 & 0 & 0 & 1 & 0 & 0 & 0 & 0 & 0 & 1 & 0 & 0 & 0 & \cdots & 0 \\ 0 & 1 & 0 & 0 & 1 & 0 & 0 & 0 & 0 & 0 & 1 & 0 & 0 & \cdots & 0 \\ 0 & 0 & 1 & 0 & 0 & 1 & 0 & 0 & 0 & 0 & 0 & 1 & 0 & \cdots & 0 \\ \vdots & \ddots & \vdots & \vdots \end{bmatrix}$$

위의 생성다항식으로 얻어진 (1023,1013) Hamming 부호를 1012 비트 단축시킨 (11,1) 단축 Hamming 부호의 생성다항식은 다음과 같다.

$$G=[1 \ 0 \ 0 \ 1 \ 0 \ 0 \ 0 \ 0 \ 0 \ 1]$$

따라서 이 생성다항식을 이용한 (11,1) 단축 Hamming 부호의 미검출오류확률은 다음과 같다.

$$P_{ud}=e^3(1-e)^8$$

미검출확률의 최대값은  $e=3/11$  일때 임을 알 수 있다. 따라서 이론적인 미검출오류확률의 상한치와 (11,1) 단축 Hamming 부호의 미검출확률의 최대값을 비교하면 다음과 같다.

$$P_{ud}(3/11)=1.59 \times 10^{-3} \times 2^{-(11-1)}=9.77 \times 10^{-4}$$

그러므로 단축 Hamming 부호는 반드시 proper 부호가 아니다.

$\langle Q.E.D \rangle$

## V. 단축 Hamming 부호의 성능 분석

본 절에서는 검사비트의 길이가 16인 CRC 오류 검출부호를 도입한 후, 이에 대한 미검출오류확률을 구하기 위하여 단축 Hamming 부호의 일반적인 중분포를 구하는 방법과 단축 순회 Hamming 부호와 쌍대 부호와의 대수학적 관계를 이용하여 이에 대한 미검출오류확률을 구하는 기법을 제시한다. 이를 위해 도입된 오류검출부호는 CRC-CCITT 오류 검출부호와 16차 원시다항식으로 생성된 오류검출부호이다.

용어의 혼동을 피하기 위하여 Hamming 부호의 여러 version과 각각 부호의 중분포에 대한 약어를 다음과 같이 정의한다.

$C_{2m-1}$ :  $(2^m-1, 2^{m-m}-1)$  순회 Hamming 부호

$C_{2m-1,e}$ :  $(2^m-1, 2^{m-m}-2)$  소거 Hamming 부호

$C_n$ : 순회 Hamming 부호를 단축시킨  $(n, n-m)$

단축 Hamming 부호

$C'_n$ :  $C_n$ 의 쌍대부호

$C_{n,e}$ : 소거 Hamming 부호를 단축시킨  $(n, n-m)$

단축 소거 Hamming 부호

$C'_{n,e}$ :  $C_{n,e}$ 의 쌍대부호

$B_{n,i}$ :  $C'_n$ 의 중분포

$B_{n,i,n}$ :  $C'_{n,e}$ 의 중분포

### V.1 CRC-CCITT 오류검출부호의 성능

CRC-CCITT 오류검출부호의 생성다항식은 다음과 같이 생성된다.

$$\begin{aligned} g(x) &= (1+x)p(x) = (1+x)(x^{15} + x^{14} + x^{13} + x^{12} + \\ &\quad x^4 + x^3 + x^2 + x + 1) \\ &= x^{16} + x^{12} + x^5 + 1 \end{aligned}$$

여기서  $p(x)$ 는 15차 원시다항식이다.

CRC-CCITT 오류검출부호의 생성다항식은 15차의 원시다항식에  $1+x$ 를 곱하여 형성된다. 따라서 CRC-CCITT 오류검출부호는 15차의 원시다항식을 생성다항식으로 갖는 기존의  $(2^m-1, 2^{m-m}-1)$  Hamming 부호의 부호어중 짹수 중

(even weight)을 갖는 부호어로 구성되어 있는 부호로서, 이는 소거 Hamming 부호(expurgated Hamming code)라 정의되고 있다.<sup>(6)(7)(8)</sup> 한편 ATM cell의 부호장(code length)이 최소 33에서 최고 128 바이트이므로, 소거 Hamming 부호를 단축하여 cell의 부호장에 맞는 단축 소거 Hamming 부호를 구성한 후, 이 단축 소거 Hamming 부호의 쌍대부호의 중분포를 구한 후 이 부호들의 대수학적 특징을 이용하여 오류검출부호의 미검출오류확률을 구할 수 있다.

단축 소거 Hamming 부호로부터 직접 쌍대부호의 중분포를 구하는 것은 쉽지 않으므로 본 논문에서는 원시다항식  $p(x)$ 로부터 생성된 순회 Hamming 부호를 단축시킨 단축 Hamming 부호( $C_n$ )을 이용하여  $C'_{n,e}$ 과의 중분포 관계식을 이용하여 소거 단축 Hamming 부호의 중분포를 구하는 간접적인 방식을 이용하였다.

$GF(2^m)$  상의  $m$  차 원시다항식은 일반적으로 (8)식과 같이 표기된다.

$$p(x) = \sum_{j=0}^m p_j x^j \quad (8)$$

(8)식의 원시다항식을 이용하여 생성된  $(2^m-1, 2^{m-m}-1)$  Hamming 부호의 쌍대부호는 “0”벡터를 제외한 모든 부호어의 종이  $2^{m-1}$ 인 simplex 부호로서, 부호의 제원은 다음과 같다.<sup>(6)(7)(8)</sup>

부호장 (code length),  $n=2^m-1$

정보장 (information length),  $k=m$

최소거리 (minimum distance),  $d_{min}=2^{m-1}$

한편 simplex 부호는  $p(x)$ 의 계수  $p_j$ 가 feed-back 템의 계수인  $m$  단 시프트 레지스터를 이용하여 생성된다. 그리고 연속된 계열의 주기가  $2^{m-1}$ 이므로 simplex 부호는 최대장계열부호(maximal length sequence code, 이하  $C_{max}$ 라 표기)라 정의되기도 한다. CRC-CCITT 오류검출부호는  $m$ 이 15이므로 이와 대응되는 최대장계열부호,  $C_{max}$ 는 <그림 5>와 같은 회로를 이용하여 형성될 수 있

다.

그림 5.  $C_{\max}$ 를 구하기 위한 회로

$C_{\max}$ 는 (8)식을 이용하여 다음과 같이 표현될 수 있다.

$$a_0=1$$

$$a_i=0, 1 \leq i \leq m-1$$

$$a_i = \sum_{j=0}^{m-1} p_j a_{i+j-m}, m \leq i < 2^m - 1 \quad (9)$$

$a_0=1, a_i=0, 1 \leq i \leq m-1$ 로 설정은  $m$  단의 시프트 레지스터의 초기값을  $GF(2^m)$  상의 체원소 (field element) 중의 하나의 원소에 대응한 것이며, 여기서는  $\alpha$ 에 대응한 베타값을 회로의 초기값으로 설정하였다. (9)식을 이용하여 순차적으로  $a_0, a_1, a_2, \dots, a_m, \dots, a_{2^m-1}$ 를 생성하여, 이 계열을  $2^m-1$  비트씩 나눈  $2^m-1$  개의 계열은 각각  $C'_{2^m-1}$ 의 한 부호어가 된다. 그리고 이 계열을  $n$  bit 크기로 나눈  $2^{m-1}$ 개의 베타가 영베타를 제외한  $C'_n$ 의 모든 부호어이므로 이 계열을 이용하여  $C'_n$ 의 중,  $B_{n,1}$ 을 계산할 수 있다. 따라서  $C'_n$ 의 중분포  $B_{n,1}$ 과  $C_n$ 의 중분포  $B_{n,1,e}$ 의 관계식을 이용하여  $B_{n,1,e}$ 를 구할 수 있다. 따라서 CRC-CCITT 오류검출부호의 미검출오류확률은  $B_{n,1,e}$ 를 이용하여 계산된다. 그러나 이 방법은 최대장계열을 한 비트씩 쉬프트한 후 이에 대한 중을 계산해야 하므로  $m$ 이 증가함에 따라 엄청난 반복계산이 요구되고 따라서 계산시간 또한 오래 걸리는 단점이 있다. CRC-CCITT 오류검출부호의 경우,  $m$ 이 15이므로  $(2^{15}-1=32767)$  개의 최대장계열비트를 32767번 반복하여 중분포를 구할 수 있다. 이러한 문제점을 극복하기 위하여 Trace 개념을 사용하여  $a_i$ 를 비트 단위가 아닌 여러 비트 단위로 계산하는 기법의 이론적 배경을 다음부터 제시한다..

$GF(2^m)$  상의 임의의 유한체 원소를  $\beta$ 라 할 경우,  $\beta$ 의 Trace 값을 다음과 같이 정의된다..

$$\text{Tr}(\beta) = \sum_{i=0}^{m-1} \beta^{2^i} \text{Tr}(\beta) \in GF(2) \quad (10)$$

그리고  $p(x)$ 의 근을  $\alpha$ 라 정의할 때  $b_i$ 를 다음과 같이 정의한다.

$$b_i = \text{Tr}(\alpha^i), 0 \leq i \leq 2^m - 1$$

임의의  $h$ ,  $0 \leq h \leq m$ 에 대해  $\alpha^{2^h}$ 가  $p(x)$ 의 근이 되므로, 이 특성을 (8)식에 대입하고 Trace의 선형성을 이용하여 다음과 같은 식이 유도될 수 있다.

$$\begin{aligned} p(\alpha^{2^h}) &= \sum_{i=0}^{m-1} p_i (\alpha^{2^h})^i \\ &= \sum_{i=0}^{m-1} p_i (\alpha^{2^h})^i + p_m (\alpha^{2^h})^m \end{aligned} \quad (11)$$

(11) 식은 다음과 같이 변형될 수 있다.

$$(\alpha^{2^h})^m = \sum_{i=0}^{m-1} p_i (\alpha^{2^h})^i$$

윗식의 양변에  $\alpha^i$ 를 곱한 후 Trace를 취하면 다음과 같은 식이 유도된다.

$$\begin{aligned} \text{Tr}(\alpha^{4+m2^h}) &= \text{Tr}(\alpha^i \sum_{j=0}^{m-1} p_j (\alpha^{2^h})) \\ &= \text{Tr}(\sum_{j=0}^{m-1} p_j (\alpha^{i+2^h})) \\ &= \sum_{j=0}^{m-1} p_j \text{Tr}(\alpha^{i+2^h}) \end{aligned}$$

$b_i = \text{Tr}(\alpha^i)$ 이므로 위의 식은 다음과 같이 변형될 수 있다.

$$b_{i+m2^h} = \sum_{j=0}^{m-1} p_j b_{i+2^h}, 0 \leq i \leq 2^m - 2 \quad (12)$$

$h=0$ 인 경우, (12) 식은 다음과 같다.

$$b_{i+m} = \sum_{j=0}^{m-1} g_j b_{i+j}, \quad 0 \leq i \leq 2^m - 2$$

위 식에서  $i+m$ 를  $k$ 로 치환하면,

$$b_k = \sum_{j=0}^{m-1} g_j b_{i+j-m}, \quad 0 \leq i \leq 2^m - 2$$

로 되어 (9)식과 같은 형태로 변경될 수 있다. 따라서 (9)식, (12)식으로부터 특정 정수  $u$ 에 대해 (13)식이 성립한다.

$$b_{i+u} = a_i \quad (13)$$

한편  $h \neq 0$ 인 일반적인 경우를 유도하기 위하여 (12)식에서  $i+m2^h=k$ 로 치환하면 다음과 같이 변형된다.

$$b_k = \sum_{j=0}^{m-1} g_j b_{k+(j-m)2^h} \quad (14)$$

(14)식은 (9)식에  $a$ 를  $b$ 로,  $p$ 를  $g$ 로 치환하고,  $h=0$ 인 경우 (9)식과 (14)식은 완전히 일치하므로  $h \neq 0$ 인 일반적인 경우에 대한 최대장계열을 (9)식 대신 (14)식의 형태로 표현하면 (15)식과 같다.

$$a_i = \sum_{j=0}^{m-1} g_j a_{i+j-m} 2^h \quad (15)$$

따라서 (15)식을 이용하면, 최대장계열은 비트 단위가 아닌  $2^h$  비트 단위로 구할 수 있다.  $2^h$ 개의  $\bar{a}_i$ 를 하나의 벡터로 구성하기 위해 벡터  $\bar{a}_i$ 를 다음과 같이 정의하자.

$$\bar{a}_i = (a_{i2^h}, a_{i2^h+1}, \dots, a_{i2^h+2^{h-1}}) \quad (16)$$

(16)식을 (15)식에 대입하여 전개하면 (17)식이 유도된다.

$$a_i = (\sum_{j=0}^{m-1} g_j a_{(i+j-m)2^h}, \sum_{j=0}^{m-1} g_j a_{(i+j-m)2^h+1}, \dots,$$

$$\sum_{j=0}^{m-1} g_j a_{(i+j-m)2^h+2^{h-1}})$$

$$= \sum_{j=0}^{m-1} g_j (a_{(i+j-m)2^h}, a_{(i+j-m)2^h+1}, \dots,$$

$$a_{(i+j-m)2^h+2^{h-1}})$$

$$= \sum_{j=0}^{m-1} g_j a_{i+j-m} \quad (17)$$

여기서  $2^h$ 는 구체적으로 계산시 처리해야 할 비트 수이다. 따라서 효율적으로 계산을 수행하기 위하여 컴퓨터에서의 한 워드 크기에 해당하는  $h$ 를 선택하는 것이 계산속도를 빠르게 할 수 있다. (17)식을 이용하여 (16)식의  $2^h$ 비트로 구성된 최대장계열 벡터를 순차적으로 구하기 위하여 (9)식에 의해  $a_0, a_1, a_2, \dots, a_{m-1}$ 을 먼저 구해야 한다. 위의 계열을  $2^h$ 비트 단위로 나누어  $\bar{a}_0, \bar{a}_1, \dots, \bar{a}_{m-1}$ 의 최대장 벡터를 구성한다. 그러면 나머지 최대장계열 벡터들,  $\bar{a}_m, \bar{a}_{m+1}, \bar{a}_{m+2}, \dots, \bar{a}_{2^m-1}$ , 은 (17)식을 이용하여  $m$ 개의 벡터들끼리의 벡터 단위 Exclusive OR 연산을 통해 차례대로 구해질 수 있다. 이렇게 구해진 최대장 계열 벡터들로부터  $C_{2^m-1}$ 의 부호어는 구해질 수 있다. 그리고  $C_n$ 의 중분포를 구하기 위하여, 위에서 구한 최대장계열을  $n$ 비트 단위로 나눈 후, 각각의 벡터가  $C_n$ 의 부호어가 되므로 부호장이  $n$ 인  $2^m-1$ 개의 부호어는 (18)식과 같이 형성된다.

$$v_i = (a_i, a_{i+1}, a_{i+2}, \dots, a_{i+n-1}), \quad 0 \leq i \leq 2^m - 2 \quad (18)$$

(18)식으로부터  $C_n$ 의 부호어의 중은 (19)식을 이용하여 구할 수 있다.

$$w(\bar{v}_{i+1}) = w(\bar{v}_i) + a_{i+1} - a_i \quad (19)$$

여기서  $w$ 는 벡터의 중을 나타내며,  $a_{i+1}$ 에서의  $i+1$ 은 modulo  $2^m-1$  연산이 적용된다. (19)식을 이용하여  $C_n$ 의 중분포( $B_{n,i}$ )를 구할 수 있다. 한편, 단축 소거 Hamming 부호의 쌍대부호  $C_{n,e}$ 의 중분포  $B_{n,i,e}$ 와  $B_{n,i}$ 의 관계는 (20)식과 같다.

$$B_{n,i,e} = B_{n,i} + B_{n,n-i} \quad (20)$$

(20)식에서 구한 중분포를 (7)식에 대입하면 BSC에서의 채널 천이 확률,  $e$ 에 따른 단축 소거 Ham-

ming 부호의 미검출오류확률을 구할 수 있다.

### V-2. 16차 원시 다항식 CRC 오류검출부호의 성능

CRC-CCITT 오류검출부호의 생성 다항식은 16 차의 원시다항식이 아니므로 일단  $p(x)$ 로 Hamming 부호,  $C_{2m-1}$ 를 단축시켜서 원하는 부호장 및 정보장을 갖는 단축 Hamming 부호,  $C_n$ 의 쌍대부호의 중분포를 구한 후, 이를 (20)식에 대입하여 단축 소거 Hamming 부호의 쌍대부호의 중분포,  $B_{n,1,e}$ 를 구했다. 그러나 오류검출부호의 생성다항식이 원시다항식일 경우, 단축 소거 Hamming 부호가 아닌 원래의 Hamming 부호,  $C_{2m-1}$ 를 구성할 수 있다. 본 논문에서는 cell의 오류검출부호의 생성다항식을 16차 원시다항식 중 하나를 채택하여 V.1 절과 비슷한 과정을 반복하여  $(n,n-m)$  단축 Hamming 부호의 쌍대부호의 중분포와 미 검출오류확률을 계산하였다. 16차 원시다항식은 (21)식과 같다.<sup>(1)(6)</sup>

$$g(x) = x^{16} + x^{12} + x^3 + x + 1 \quad (21)$$

## VI. 성능 분석 절차 및 분석 결과 검토

CRC-CCITT 부호와 원시다항식 CRC 부호의 쌍대부호의 중분포 및 미검출오류확률을 각각 구하기 위해서 다음과 같은 절차에 의해 성능 분석을 수행하였다. 이를 위해 이용된 컴퓨터는 IBM PC / AT이고, 프로그램 언어는 Basic 언어를 이용하였다. 그리고 프로그램 길이는 400 라인 정도였다.

### VI.1 CRC-CCITT 오류검출부호의 성능 분석 절차

단계 1) (9)식에 의해  $a_0-a_{29}$ 까지 최대장계열을 생성.

단계 2)  $a_0-a_{29}$ 를  $2^4 (=16)$  비트 단위로 분할하여 벡터  $\bar{a}_0-\bar{a}_{14}$  형성

단계 3) (17)식을 이용하여, 벡터  $\bar{a}_{15}-\bar{a}_{2047}$  형성.

단계 4) 최대장계열  $a_0-a_{32767}$  배열.

단계 5)  $C'_n$ 의 부호장이  $n$ 이므로  $a_0-a_{n-1}$ 까지의 중을 구한 후, 이를 벡터  $\bar{v}_0$ 의 중으로 선택.

단계 6) (19)식을 이용하여 32767 개의 벡터  $\bar{v}_1$ 의 해밍중 (Hamming weight) 계산.

단계 7) (20)식을 이용하여  $B_{n,1,e}$ 를 계산.

단계 8) (7)식을 이용하여 CRC-CCITT의 미검출 오류확률 구함.

### VI.2 원시다항식 CRC 오류검출부호의 성능 분석

#### 절차

단계 1) (9)식에 의해  $a_0-a_{255}$ 까지 최대장계열 생성.

단계 2)  $a_0-a_{255}$ 를  $2^4 (=16)$  비트 단위로 분할하여 벡터  $\bar{a}_0-\bar{a}_{15}$  형성.

단계 3) (17)식을 이용하여, 벡터  $\bar{a}_{16}-\bar{a}_{4095}$  형성.

단계 4) 최대장계열  $a_0-a_{65535}$  배열.

단계 5)  $C'_n$ 의 부호장이  $n$ 이므로  $a_0-a_{n-1}$ 까지의 해밍중을 구한 후, 이를 벡터  $\bar{v}_0$ 의 중으로 선택.

단계 6) (19)식을 이용하여 65535 개의 벡터  $\bar{v}_1$ 의 중 계산.

단계 7) (7)식을 이용하여 원시다항식 CRC 부호의 미검출오류확률 계산.

CCITT에서는 ATM cell의 정보부의 크기를 32-120 바이트로, 헤더부의 크기를 3-8 바이트로 잠정 권고하고 있음을 고려하여,  $(n,n-m)$  단축 소거 Hamming 부호의 부호장  $n$ 을 ATM cell의 최대 크기와 최소 크기내에서 변환시켜 가면서 각 길이  $n$ 에 대해 두개의 오류검출부호에 대한 중분포들을 구하고 이를 기초로하여 각 오류검출부호에 대한 미검출오류확률을 계산하였다. VI.1과 VI.2절의 과정을 이용하여 얻어진 CRC-CCITT 오류검출부호와 원시다항식 CRC 오류검출부호의 중분포는 <부록>의 <표1><표2>와 같으며, 단축 정도에 따른 미검출오류확률 및  $2^{-(n-k)}$  상한치와의

관계 <그림 6> <그림 7>과 같으며, 길이가 126, 94, 62, 32일 경우의 두 오류검출부호의 성능 비교는 각각 <그림 8>, <그림 9>, <그림 10>, <그림 11>과 같다. 위의 그림에서 알 수 있듯이, CRC-CCITT의 미검출오류확률은 부호장이 32-120바이트 범위내에서 원시다항식 CRC 부호보다 미검출오류확률 측면에서 우수하고, 부호장이

32바이트 이하일 경우 원시다항식 CRC 부호가 성능이 CRC-CCITT 오류검출부호보다 우수하다. 그리고 <그림 6>에서 알 수 있듯이 CRC-CCITT 부호의 미검출오류확률은 부호장이 8바이트 일 때  $2^{(n-k)}$  상한치를 초과하고 있다. 또한 두 오류검출부호 공히 부호장이 6바이트 이하일 경우  $2^{(n-k)}$  상한치를 초과함을 알 수 있었다.

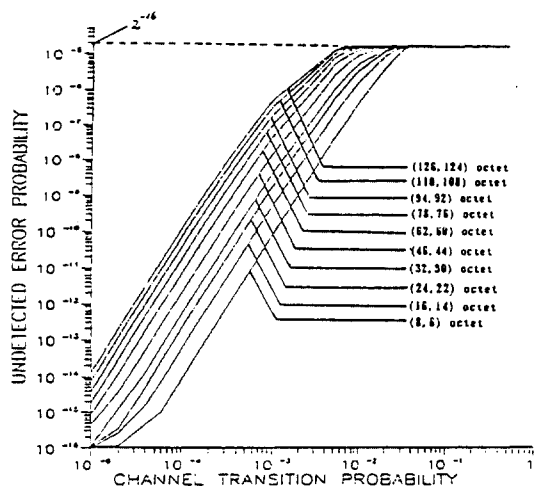


그림 6. CRC-CCITT 오류검출부호의 미검출오류확률  
undetected error probability of CRC-CCITT

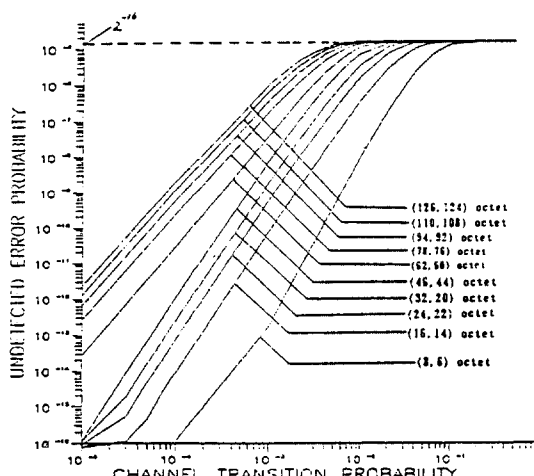


그림 7. 원시다항식 CRC 오류검출부호의 미검출오류확률  
undetected error probability of primitive CRC

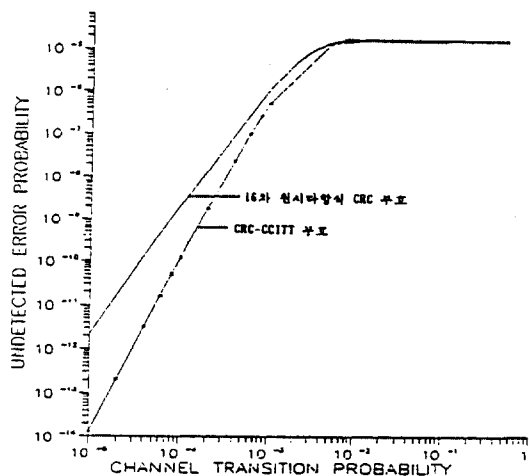


그림 8. 부호장이 126 일 때의 두 부호의 성능 비교  
comparison of the undetected error probability, n=126

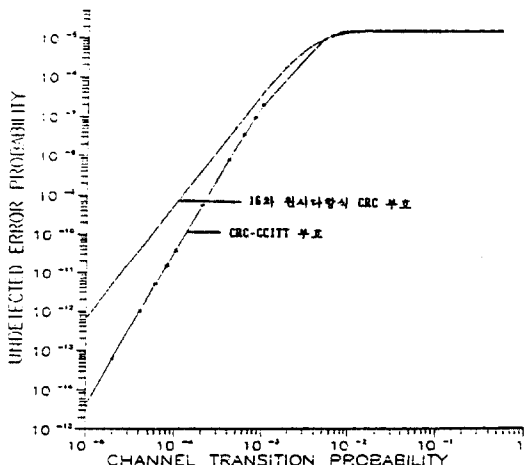


그림 9. 부호장이 94 일 때의 두 부호의 성능 비교  
comparison of the undetected error probability, n=94

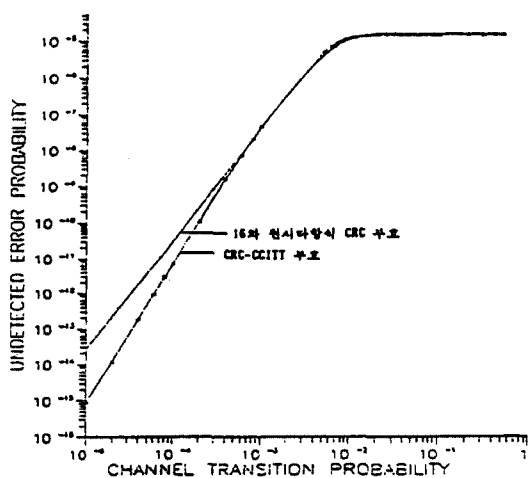


그림 10. 부호장이 62 일때의 두 부호의 성능 비교  
comparison of the undetected error probability,  $n=6$   
2

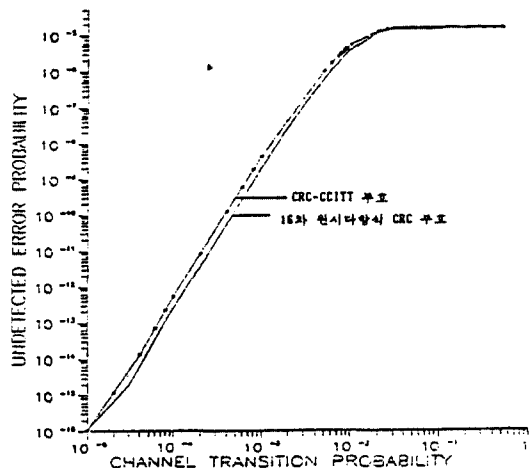


그림 11. 부호장이 32 일때의 두 부호의 성능 비교  
comparison of the undetected error probability,  $n=3$   
2

## VII. 결론

CCITT에서는 광대역 ISDN의 UNI의 전송방식

으로 ATM 전송방식을 권고하였으며, cell에 발생하는 오류제어 기법에 대한 연구가 활발히 논의 / 토의되고 있다.<sup>(4)</sup> 본 논문에서는 cell에서 발생하는 오류를 검출하기 위하여 CRC-CCITT 부호와 GF(2) 상의 16차의 원시다항식 CRC 오류검출부호를 도입하였다. 그리고 Hamming 부호와 단축 Hamming 오류검출부호의 성능을 분석하기 위하여 미검출오류확률에 대한 일반적 이론을 분석 / 제시하였고,  $(n,k)$  선형 Hamming 오류검출부호와 단축 소거 Hamming 오류검출부호의 중분포를 구하기 위한 새로운 기법을 제시한 후, 이 결과를 이용하여 CCITT-CRC와 원시다항식 CRC 오류검출부호를 ATM cell에 적용하였다고 가정하고 이에 대한 미검출오류확률을 구했다. 특히 cell 크기가 현재 CCITT에서 확실히 권고되지 않았음을 고려하여 단축 정도를 변화하면서 두 CRC 오류검출부호의 성능을 분석 / 비교하였다.

분석 / 비교 결과, CRC-CCITT 오류검출부호는 원시다항식 CRC 오류검출부호에 비교하면 단축 정도가 크지 않을 경우 미검출오류확률 측면에서 성능이 더 우수하나, 단축 정도가 매우 클 경우 원시다항식 CRC 오류검출부호가 성능이 더 우수함을 알 수 있었다. 그리고 두 오류검출부호 공히 단축 정도가 클 경우  $2^{-(n-k)}$  상한을 만족하지 않았다.

## 参考文献

1. 이만영, 부호 이론, 회중당, 1984.
2. S.K.L.Y. Cheong, E.R. Barnes, and D.U. Friedman, "Some properties of Undetected Error Probability of Linear Code," IEEE Trans. on Inform. Theory, vol. IT-25, pp.110-112, Jan. 1979.
3. W.Stallings, Data and Computer Communications, MacMillan Publishing Co, New York, 1985.
4. CCITT, "Part C of the Seoul Meeting", 25.Jan.-5.Feb. 1988.

5. S.K. L.Y. Cheong and M.E. Hellman, "Concerning a Bound on Undetected Error Probability," IEEE Trans. on Inform. Theory, vol. IT-22, pp.235-237, Mar. 1976.
6. F.J. MacWilliams and N.J.A. Sloane, Theory of Error-Correcting Codes, North-Holland, Amsterdam, The Netherlands, 1977.
7. S.Lin and D.J. Costello, Error Control Coding: Fundamentals and Applications, Prentice-Hall, Englewood Cliffs, NJ, 1983.
8. E.R. Berlekamp, Algebraic Coding Theory, McGraw-Hill Book Co., New York, 1968.
9. J.K. Wolf, and A.H. Levesque, "On the Probability of Undetected Error for Linear Block Codes", IEEE Trans. on Commun. Theory, vol.COM-30, pp.317-324, Feb. 1982.
10. S.C. Chang and Jack K. Wolf, "A Simple Derivation of the MacWilliams' Identity for Linear Codes," IEEE Trans. on Inform. Theory, vol. IT-26, pp.476-477, July. 1980.
11. T.Fujiiwara, T.Kasami and S. Lin, "Error Detecting Capabilities of the Shortened Hamming Code Used for the Ethernet," 일본 전자통신학회 논문지, vol.J6 9-A, No.6, June, 1986.
12. T. Fujiiwara, T.Kasami, A. Kitai, and S. Lin, "On the Undetected Error Probability for Shortened Hamming Codes", IEEE Trans. on Commun., vol.COM-33, No. 6, June. 1985.
13. T.Kasami, T. Klove and S. Lin, "Linear Block Codes for Error Detection" IEEE Trans. on Inform. Theory, vol. IT-29, pp.131-136, Jan. 1983.

## 부록 CRC-CCITT 와 원시다항식 CRC 오류검출부호의 중분포

표 1. CRC-CCITT 오류검출부호의 쌍대부호의 중분포  
weight distribution of CRC CCITT's dual code

(126, 124) octet		(110, 108) octet		(94, 92) octet		(78, 76) octet		(62, 60) octet		(46, 44) octet		(32, 30) octet			
I	B <sub>a..i..e</sub>	I	B <sub>a..i..e</sub>	I	B <sub>a..i..e</sub>	I	B <sub>a..i..e</sub>	I	B <sub>a..i..e</sub>	I	B <sub>a..i..e</sub>	I	B <sub>a..i..e</sub>		
0	1	588	1935	0	1	443	1135	0	1	286	1455	0	1	154	10
452	2	593	1905	354	1	580	1312	551	2	317	1322	281	116	0	1
453	3	510	1422	2	551	1166	552	5	588	1257	217	106	75	35	12
454	4	511	1684	395	16	1147	553	6	583	1237	218	106	154	13	10
455	5	17	1458	397	47	1014	554	12	510	1155	219	1000	216	28	11
456	6	10	1276	398	50	1018	555	19	551	1036	220	117	155	17	12
457	7	314	1297	359	145	555	975	526	47	552	1006	221	117	154	12
458	8	65	1143	400	125	522	54	551	54	551	1036	222	117	154	10
459	9	516	1025	401	82	502	524	67	584	858	223	117	154	10	10
460	10	317	935	402	45	529	533	55	595	825	224	117	154	10	10
461	11	318	807	403	56	568	540	104	588	472	225	117	154	10	10
462	12	319	701	404	56	554	341	103	597	651	226	117	154	10	10
463	13	195	620	405	72	528	522	75	588	548	227	117	154	10	10
464	14	521	518	406	103	483	543	94	588	495	228	117	154	10	10
465	15	522	621	407	146	483	543	59	600	482	229	117	154	10	10
466	16	523	567	408	144	484	519	545	116	482	230	117	154	10	10
467	17	524	552	409	164	485	510	104	522	482	231	117	154	10	10
468	18	525	576	410	126	486	564	173	588	164	232	117	154	10	10
469	19	526	495	411	222	487	446	240	588	148	233	117	154	10	10
470	20	527	510	412	253	488	523	149	588	165	234	117	154	10	10
471	21	528	529	413	446	489	528	250	588	166	235	117	154	10	10
472	22	529	563	414	464	470	470	136	551	322	236	117	154	10	10
473	23	530	495	415	498	471	164	352	481	68	237	117	154	10	10
474	24	302	531	416	519	472	144	525	495	89	238	117	154	10	10
475	25	532	581	417	483	473	146	524	548	110	239	117	154	10	10
476	26	533	528	418	507	474	105	555	651	111	240	117	154	10	10
477	27	534	502	419	520	475	72	556	673	112	241	117	154	10	10
478	28	535	237	534	554	476	54	557	625	113	242	117	154	10	10
479	29	536	250	421	638	477	56	558	250	105	243	117	154	10	10
480	30	537	201	422	733	478	47	559	551	115	244	117	154	10	10
481	31	538	152	423	802	479	42	560	1006	116	245	117	154	10	10
482	32	496	539	424	522	480	125	381	1335	117	246	117	154	10	10
483	33	716	575	425	575	481	145	352	1133	118	247	117	154	10	10
484	34	531	90	426	1018	482	90	535	1237	119	248	117	154	10	10
485	35	541	54	427	1044	483	47	564	1257	120	249	117	154	10	10
486	36	424	66	428	1147	484	16	365	1332	421	250	117	154	10	10
487	37	719	944	429	1166	485	2	566	1158	752	1	251	117	154	10
488	38	531	105	430	1312	486	1	567	1421	252	2	252	117	154	10
489	39	565	58	431	1185	488	1	568	1418	253	2	253	117	154	10
490	40	307	547	432	1413	489	1	569	1605	254	1	254	117	154	10
491	41	355	110	433	1655	490	1	570	1626	255	1	255	117	154	10
492	42	1025	493	434	1674	491	1	571	1744	256	1	256	117	154	10
493	43	1100	550	435	1911	492	1	572	2071	257	1	257	117	154	10
494	44	1297	551	436	1830	493	1	573	1972	258	1	258	117	154	10
495	45	1276	552	437	1554	494	1	574	1957	259	1	259	117	154	10
496	46	1454	563	438	1981	495	1	575	1947	260	1	260	117	154	10
497	47	1554	564	439	2097	496	1	576	1856	261	1	261	117	154	10
498	48	1222	565	440	2168	497	1	577	1947	262	1	262	117	154	10
499	49	1803	566	441	2097	498	1	578	1557	263	1	263	117	154	10
500	50	1259	1008	442	1921	499	1	579	1557	264	1	264	117	154	10
501	51	1912	443	1554	580	2071	1	580	1772	265	1	265	117	154	10
502	52	1810	444	1830	581	1764	1	581	1759	266	1	266	117	154	10
503	53	1975	445	1911	582	1935	1	582	1627	267	1	267	117	154	10
504	54	2021	446	1671	583	1607	1	583	1607	268	1	268	117	154	10
505	55	1975	447	1655	584	1600	1	584	1600	269	1	269	117	154	10
506	56	1810	448	1643	585	1643	1	585	1643	270	1	270	117	154	10
507	57	1912	449	1613	586	1621	1	586	1621	271	1	271	117	154	10

표 2. 원시다항식 CRC 오류검출부호의 쟁대부호의 중분포  
weight distribution of primitive CRC's dual code

(126,124) octet				(110,108) octet				(94,92) octet				(78,76) octet				(62,60) octet				(46,44) octet				(32,30) octet						
$\delta_{n-1}$	$\delta_{n-2}$	$\delta_{n-3}$	$\delta_{n-4}$	$\delta_{n-1}$	$\delta_{n-2}$	$\delta_{n-3}$	$\delta_{n-4}$	$\delta_{n-1}$	$\delta_{n-2}$	$\delta_{n-3}$	$\delta_{n-4}$	$\delta_{n-1}$	$\delta_{n-2}$	$\delta_{n-3}$	$\delta_{n-4}$	$\delta_{n-1}$	$\delta_{n-2}$	$\delta_{n-3}$	$\delta_{n-4}$	$\delta_{n-1}$	$\delta_{n-2}$	$\delta_{n-3}$	$\delta_{n-4}$	$\delta_{n-1}$	$\delta_{n-2}$	$\delta_{n-3}$	$\delta_{n-4}$			
0	1	1	1	1	1	1	1	0	1	1	1	0	1	1	1	0	1	1	1	1	0	1	1	1	1	0	1	1	1	
458	5	112	1613	6	1	456	941	0	1	1	351	348	276	5	231	603	214	-2	264	829	0	1	204	357	19	155	0	1	156	0
458	5	1546	402	8	457	553	557	1	1	1	352	756	276	276	332	154	15	205	260	191	1	156	0	1	156	0	1	156	0	
458	10	114	1271	403	24	458	871	358	2	1	353	751	276	276	332	154	15	205	260	191	1	156	0	1	156	0	1	156	0	
459	12	515	1177	404	51	459	874	359	10	354	636	276	276	332	154	15	205	260	191	1	156	0	1	156	0	1	156	0		
461	26	516	1185	405	84	460	650	340	21	355	767	276	276	332	154	15	205	260	191	1	156	0	1	156	0	1	156	0		
462	28	517	1188	406	129	461	517	341	44	356	672	276	276	332	154	15	205	260	191	1	156	0	1	156	0	1	156	0		
463	3	518	1176	407	181	462	481	342	53	357	444	276	276	332	154	15	205	260	191	1	156	0	1	156	0	1	156	0		
463	13	519	1088	408	200	463	432	343	65	358	389	276	276	332	154	15	205	260	191	1	156	0	1	156	0	1	156	0		
465	37	520	1011	409	208	464	552	345	105	359	388	276	276	332	154	15	205	260	191	1	156	0	1	156	0	1	156	0		
466	59	521	893	410	262	465	288	346	53	359	388	276	276	332	154	15	205	260	191	1	156	0	1	156	0	1	156	0		
467	59	522	821	411	343	466	221	347	257	360	388	276	276	332	154	15	205	260	191	1	156	0	1	156	0	1	156	0		
468	119	523	821	412	344	467	169	348	354	363	388	276	276	332	154	15	205	260	191	1	156	0	1	156	0	1	156	0		
468	154	524	635	413	345	468	160	349	316	364	388	276	276	332	154	15	205	260	191	1	156	0	1	156	0	1	156	0		
470	155	525	653	414	346	469	160	350	316	365	388	276	276	332	154	15	205	260	191	1	156	0	1	156	0	1	156	0		
471	156	526	593	415	347	470	231	350	346	365	388	276	276	332	154	15	205	260	191	1	156	0	1	156	0	1	156	0		
473	213	527	505	416	348	471	231	351	356	366	388	276	276	332	154	15	205	260	191	1	156	0	1	156	0	1	156	0		
473	222	528	405	417	349	472	198	352	345	367	388	276	276	332	154	15	205	260	191	1	156	0	1	156	0	1	156	0		
474	409	529	405	418	349	473	155	353	340	368	388	276	276	332	154	15	205	260	191	1	156	0	1	156	0	1	156	0		
475	414	530	416	419	350	474	158	354	347	369	388	276	276	332	154	15	205	260	191	1	156	0	1	156	0	1	156	0		
476	518	531	384	420	350	475	81	355	351	366	388	276	276	332	154	15	205	260	191	1	156	0	1	156	0	1	156	0		
477	520	531	281	421	351	476	78	356	781	411	388	276	276	332	154	15	205	260	191	1	156	0	1	156	0	1	156	0		
478	520	532	207	422	352	477	94	357	366	412	388	276	276	332	154	15	205	260	191	1	156	0	1	156	0	1	156	0		
479	523	533	207	423	353	478	58	358	368	413	388	276	276	332	154	15	205	260	191	1	156	0	1	156	0	1	156	0		
480	525	534	291	424	354	479	58	359	368	413	388	276	276	332	154	15	205	260	191	1	156	0	1	156	0	1	156	0		
481	525	535	165	425	355	480	57	360	358	414	388	276	276	332	154	15	205	260	191	1	156	0	1	156	0	1	156	0		
482	526	536	165	426	356	481	57	361	358	414	388	276	276	332	154	15	205	260	191	1	156	0	1	156	0	1	156	0		
483	527	537	165	427	357	482	57	362	358	414	388	276	276	332	154	15	205	260	191	1	156	0	1	156	0	1	156	0		
484	528	538	165	428	358	483	57	363	358	414	388	276	276	332	154	15	205	260	191	1	156	0	1	156	0	1	156	0		
485	529	539	165	429	359	484	57	364	358	414	388	276	276	332	154	15	205	260	191	1	156	0	1	156	0	1	156	0		
486	530	540	122	430	360	485	67	364	354	419	24	276	276	332	154	15	205	260	191	1	156	0	1	156	0	1	156	0		
486	532	541	11	430	360	486	62	365	358	420	5	276	276	332	154	15	205	260	191	1	156	0	1	156	0	1	156	0		
487	539	542	49	431	360	487	51	366	360	421	8	276	276	332	154	15	205	260	191	1	156	0	1	156	0	1	156	0		
488	764	543	60	432	360	488	47	367	360	422	5	276	276	332	154	15	205	260	191	1	156	0	1	156	0	1	156	0		
489	765	544	60	433	360	489	48	368	368	423	2	276	276	332	154	15	205	260	191	1	156	0	1	156	0	1	156	0		
490	766	545	60	434	360	490	49	369	368	423	1	276	276	332	154	15	205	260	191	1	156	0	1	156	0	1	156	0		
491	767	546	60	435	360	491	50	370	368	423	1	276	276	332	154	15	205	260	191	1	156	0	1	156	0	1	156	0		
492	516	547	45	437	360	492	11	370	368	424	2	276	276	332	154	15	205	260	191	1	156	0	1	156	0	1	156	0		
493	522	548	45	438	360	493	11	373	367	424	2	276	276	332	154	15	205	260	191	1	156	0	1	156	0	1	156	0		
494	523	549	45	439	360	494	11	374	367	424	2	276	276	332	154	15	205	260	191	1	156	0	1	156	0	1	156	0		
495	1251	550	11	440	360	495	1	375	368	425	2	276	276	332	154	15	205	260	191	1	156	0	1	156	0	1	156	0		
496	1495	551	27	440	360	496	1	375	368	426	2	276	276	332	154	15	205	260	191	1	156	0	1	156	0	1	156	0		
497	1534	552	21	441	360	497	1	376	365	426	2	276	276	332	154	15	205	260	191	1	156	0	1	156	0	1	156	0		
498	1535	553	19	442	360	498	1	377	364	426	2	276	276	332	154	15	205	260	191	1	156	0	1	156	0	1	156	0		
499	1536	554	19	443	360	499	1	378	364	426	2	276	276	332	154	15	205	260	191	1	156	0	1	156	0	1	156	0		
500	1537	555	6	444	360	500	1	378	364	426	2	276	276	332	154	15	205	260	191	1	156	0	1	156	0	1	156	0		
501	1567	556	18	445	360	501	1	379	364	426	2	276	276	332	154	15	205	260	191	1	156	0	1	156	0	1	156	0		
502	1945	557	19	446	360	502	1	380	364	426	2	276	276	332	154	15	205	260	191	1	156	0	1	156	0	1	156	0		
503	1833	558	19	447	360	503	1	381	364	426	2	276</td																		